

КОЛЕБАНИЯ СОСТАВНОЙ БАЛКИ. МОДЕЛЬ ГОЛАНДА–РЕЙССНЕРА

Существует несколько математических моделей односрезного клеевого соединения, позволяющих получить аналитическое решение в замкнутом виде. Исторически первой и наиболее простой является модель Фолькерсена. Более строгая постановка задачи дается в известной работе Голанда и Рейсснера [1]. Харт-Смит обобщил этот подход на вязкоупругое и нелинейно-упругое поведение клеевой прослойки [2]. А.Л. Брушковским и А.И. Макеевым [3] дана вариационная формулировка и получено численно-аналитическое решение задач для соединений с переменными или кусочно-однородными параметрами. Подход Голанда и Рейсснера использован для расчета соединений с трещинами в клее и слоями разной длины [4, 5] (несмотря на название задача ставится в линейной постановке).

Одним из направлений развития теории клеевых соединений являются динамические задачи. Актуальность этого направления обусловлена возникающими в ходе эксплуатации авиационной техники динамическими нагрузками и высокими значениями динамических напряжений, которые могут в несколько раз превышать статические [6]. Ряд задач описывает теория составных балок Ржаницына [7], однако условие равенства углов поворота сечений несущих слоев существенно ограничивает применение этой модели. Поэтому возникает задача обобщения модели Голанда и Рейсснера, в котором учитывались бы силы инерции. Рассмотрим дифференциальный элемент соединения, рис. 1.

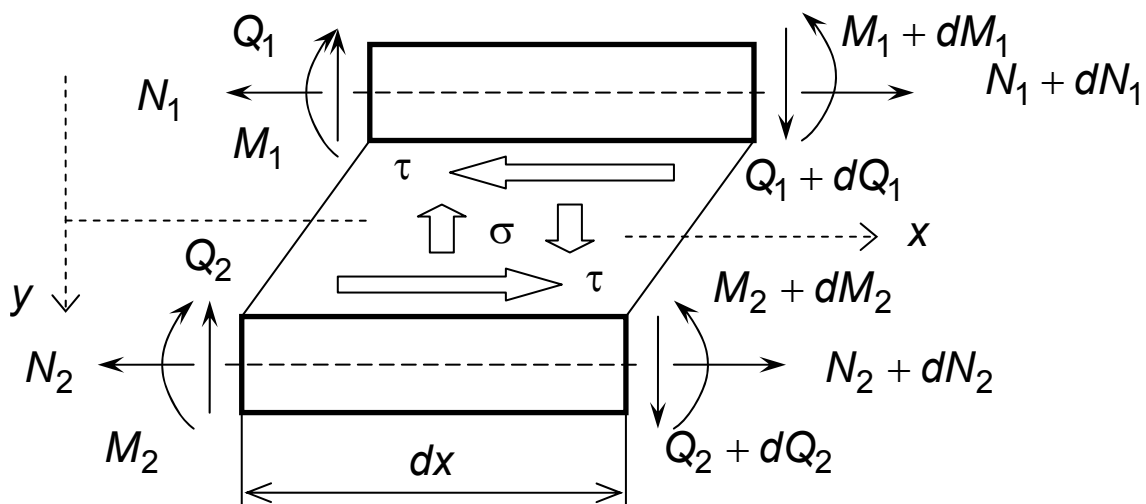


Рисунок 1 – Дифференциальный элемент соединения

Считаем, что углы поворота сечений малы, поэтому $\varphi_i \approx \frac{\partial w_i}{\partial x}$.

Массой клеевой прослойки пренебрегаем ввиду ее относительно малой толщины. Уравнения равновесия элементов слоев имеют вид

$$\begin{aligned}
\frac{\partial N_1}{\partial x} - \tau &= \frac{\partial^2 u_1}{\partial t^2} \rho_1 \delta_1; & \frac{\partial N_2}{\partial x} + \tau &= \frac{\partial^2 u_2}{\partial t^2} \rho_2 \delta_2; \\
\frac{\partial Q_1}{\partial x} + \sigma &= \rho_1 \delta_1 \frac{\partial^2 w_1}{\partial t^2}; & \frac{\partial Q_2}{\partial x} - \sigma &= \rho_2 \delta_2 \frac{\partial^2 w_2}{\partial t^2}; \\
\frac{\partial M_1}{\partial x} - \frac{\delta_1}{2} \tau - Q_1 &= \rho_1 J_1 \frac{\partial^3 w_1}{\partial x \partial t^2}; & \frac{\partial M_2}{\partial x} - \frac{\delta_2}{2} \tau - Q_2 &= \rho_2 J_2 \frac{\partial^3 w_2}{\partial x \partial t^2}.
\end{aligned} \tag{1}$$

Дифференцируя последние уравнения по x и исключая производные от поперечных сил, получаем

$$\begin{aligned}
\frac{\partial^2 M_1}{\partial x^2} &= \frac{\delta_1}{2} \frac{\partial \tau}{\partial x} - \sigma + \rho_1 \delta_1 \frac{\partial^2 w_1}{\partial t^2} + \rho_1 J_1 \frac{\partial^4 w_1}{\partial x^2 \partial t^2}; \\
\frac{\partial^2 M_2}{\partial x^2} &= \frac{\delta_2}{2} \frac{\partial \tau}{\partial x} + \sigma + \rho_2 \delta_2 \frac{\partial^2 w_2}{\partial t^2} + \rho_2 J_2 \frac{\partial^4 w_2}{\partial x^2 \partial t^2}.
\end{aligned} \tag{2}$$

Касательные напряжения в клее полагаем равномерно распределенными по толщине и пропорциональными разности продольных перемещений внутренних сторон соединяемых слоев [1, 4, 5]:

$$\tau = \frac{1}{P_c} \left(u_1 - u_2 - \frac{\delta_1}{2} \frac{dw_1}{dx} - \frac{\delta_2}{2} \frac{dw_2}{dx} \right), \tag{3}$$

где x_i – продольное перемещение точек на нейтральной оси слоёв; P_c – податливость соединительного слоя, например, в простейшем случае $P_c = \delta_c G_c^{-1}$ (δ_c и G_c соответственно толщина и модуль сдвига соединительного слоя).

В модели Ржаницына [7] полагается, что соединяемые слои могут перемещаться относительно друг друга только в продольном направлении. Гипотеза о равномерности напряжений по толщине и линейности физического закона распространена и для вертикальных перемещений (Голланд и Рейсснер [1]). Нормальные напряжения полагаются пропорциональными разности поперечных перемещений слоев:

$$\sigma = K(w_2 - w_1), \tag{4}$$

где K – коэффициент упругости соединительного слоя (в первом приближении $K = E_c \delta_c^{-1}$).

Приближенные уравнения прогиба балок имеют вид

$$\frac{\partial^2 w_i}{\partial x^2} = -\frac{M_i}{D_i}, \tag{5}$$

где D_i – изгибная (или цилиндрическая) жесткость. Пренебрегая влия-

нием на прогиб продольных усилий в слое, упрощаем задачу и избавляемся от нелинейности в разрешающей системе дифференциальных уравнений.

Дважды дифференцируя (5) и используя уравнения (2) получаем

$$D_1 \frac{\partial^4 w_1}{\partial x^4} = -\frac{\delta_1}{2} \frac{\partial \tau}{\partial x} + \sigma - \rho_1 \delta_1 \frac{\partial^2 w_1}{\partial t^2} + \rho_1 J_1 \frac{\partial^4 w_1}{\partial x^2 \partial t^2};$$

$$D_2 \frac{d^4 w_2}{dx^4} = -\frac{\delta_2}{2} \frac{\partial \tau}{\partial x} - \sigma - \rho_2 \delta_2 \frac{\partial^2 w_2}{\partial t^2} + \rho_2 J_2 \frac{\partial^4 w_2}{\partial x^2 \partial t^2}.$$
(6)

Первые два уравнения равновесия (1) можно записать в виде

$$\frac{\partial \varepsilon_1}{\partial x} = \frac{\tau}{B_1} + \frac{\partial^2 u_1}{\partial t^2} \frac{\rho_1 \delta_1}{B_1}; \quad \frac{\partial \varepsilon_2}{\partial x} = -\frac{\tau}{B_2} + \frac{\rho_1 \delta_1}{B_2} \frac{\partial^2 u_2}{\partial t^2}.$$
(7)

где B_j - жесткость соединяемых слоев на растяжение-сжатие (для однородного слоя $B_j = \delta_j E_j$).

Используя кинематические соотношения $\frac{\partial u_j}{\partial x} = \varepsilon_j$, уравнения (7)

запишем в виде:

$$\frac{\partial^2 u_1}{\partial x^2} = \frac{\tau}{B_1} + \frac{\partial^2 u_1}{\partial t^2} \frac{\rho_1 \delta_1}{B_1}; \quad \frac{\partial^2 u_2}{\partial x^2} = -\frac{\tau}{B_2} + \frac{\rho_1 \delta_1}{B_2} \frac{\partial^2 u_2}{\partial t^2}.$$
(8)

Заменяя σ в (6) на выражение (4), получаем систему из 5 уравнений в частных производных (3), (6) и (8) относительно 5 неизвестных: τ, u_1, u_2, w_1, w_2 :

$$\left\{ \begin{array}{l} D_1 \frac{\partial^4 w_1}{\partial x^4} + \frac{\delta_1}{2} \frac{\partial \tau}{\partial x} - K(w_2 - w_1) + \rho_1 \delta_1 \frac{\partial^2 w_1}{\partial t^2} - \rho_1 J_1 \frac{\partial^4 w_1}{\partial x^2 \partial t^2} = 0; \\ D_2 \frac{d^4 w_2}{dx^4} + \frac{\delta_2}{2} \frac{\partial \tau}{\partial x} + K(w_2 - w_1) + \rho_2 \delta_2 \frac{\partial^2 w_2}{\partial t^2} - \rho_2 J_2 \frac{\partial^4 w_2}{\partial x^2 \partial t^2} = 0; \\ \frac{\partial^2 u_k}{\partial x^2} = (-1)^{k+1} \frac{\tau}{B_k} + \frac{\partial^2 u_k}{\partial t^2} \frac{\rho_k \delta_k}{B_k}, \quad k = 1, 2; \\ \tau = \frac{1}{P_c} \left(u_1 - u_2 - \frac{\delta_1}{2} \frac{dw_1}{dx} - \frac{\delta_2}{2} \frac{dw_2}{dx} \right). \end{array} \right.$$
(9)

Постановка краевой задачи: Рассмотрим в качестве примера консольную балку длиной $2L$. Зададим следующие краевые условия:

$$u_1|_{x=-L} = 0; \frac{\partial u_1}{\partial x}|_{x=-L} = \frac{\partial u_1}{\partial x}|_{x=L} = \frac{\partial u_2}{\partial x}|_{x=L} = 0; \quad (10)$$

$$\frac{\partial^2 w_1}{\partial x^2}|_{x=-L} = \frac{\partial^3 w_1}{\partial x^3}|_{x=-L} = 0; w_2|_{x=-L} = \frac{\partial w_2}{\partial x}|_{x=-L} = 0; \quad (11)$$

$$\frac{\partial^2 w_1}{\partial x^2}|_{x=L} = \frac{\partial^2 w_2}{\partial x^2}|_{x=L} = 0; \frac{\partial^3 w_1}{\partial x^3}|_{x=L} = \frac{\partial^3 w_2}{\partial x^3}|_{x=L} = 0 \quad (12)$$

Приведенные краевые условия соответствуют схеме, показанной на рис. 2.

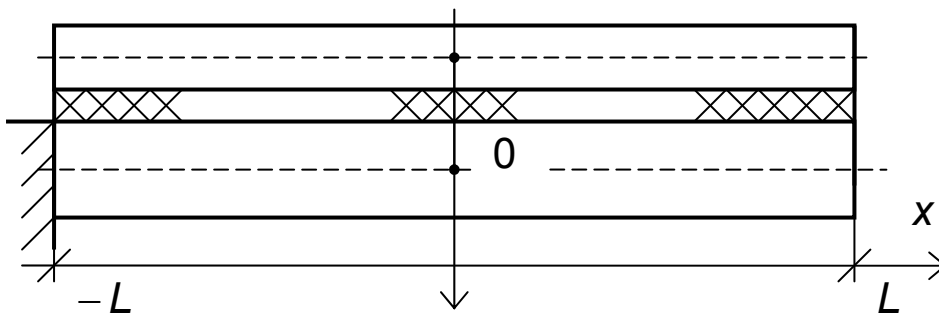


Рисунок 2 – Краевые условия

Краевые условия выбраны таким образом, чтобы продемонстрировать более широкие возможности модели Голанда–Рейсснера по сравнению с моделью составной балки Ржаницына, подход которого не позволяет решить данную задачу ввиду различия в краевых условиях для слоев слева при $x = -L$.

Начальные условия имеют вид

$$u_i|_{t=0} = \psi_i; w_i|_{t=0} = \chi_i; \frac{\partial u_i}{\partial t}|_{t=0} = \bar{\psi}_i; \frac{\partial w_i}{\partial t}|_{t=0} = \bar{\chi}_i. \quad (13)$$

Решение задачи. Из системы (9) можно исключить касательные напряжения τ , в результате чего получим систему 4 дифференциальных уравнений в частных производных относительно продольных и поперечных перемещений. Введем вектор переменных $\vec{V} = (w_1 \ w_2 \ u_1 \ u_2)^T$ и запишем полученную систему в матричном виде

$$\mathbf{A}_4^0 \frac{\partial^4 \vec{V}}{\partial x^4} + \mathbf{A}_2^0 \frac{\partial^2 \vec{V}}{\partial x^2} + \mathbf{A}_1^0 \frac{\partial \vec{V}}{\partial x} + \mathbf{A}_0^0 \vec{V} + \mathbf{A}_0^2 \frac{\partial^2 \vec{V}}{\partial t^2} + \mathbf{A}_2^2 \frac{\partial^4 \vec{V}}{\partial x^2 \partial t^2} = 0, \quad (14)$$

где матрицы коэффициентов при частных производных

$$\mathbf{A}_4^0 = \begin{pmatrix} P_c D_1 & \cdot & \cdot & \cdot \\ \cdot & P_c D_2 & \cdot & \cdot \\ \cdot & \cdot & \cdot & \cdot \\ \cdot & \cdot & \cdot & \cdot \end{pmatrix}; \quad \mathbf{A}_2^0 = \frac{1}{4} \begin{pmatrix} -\delta_1^2 & -\delta_1 \delta_2 & \cdot & \cdot \\ -\delta_1 \delta_2 & -\delta_2^2 & \cdot & \cdot \\ \cdot & \cdot & 4B_1 P_c & \cdot \\ \cdot & \cdot & \cdot & 4B_2 P_c \end{pmatrix};$$

$$\mathbf{A}_1^0 = \frac{1}{2} \begin{pmatrix} \cdot & \cdot & \delta_1 & -\delta_1 \\ \cdot & \cdot & \delta_2 & -\delta_2 \\ \delta_1 & \delta_2 & \cdot & \cdot \\ -\delta_1 & -\delta_2 & \cdot & \cdot \end{pmatrix}; \quad \mathbf{A}_0^0 = \begin{pmatrix} K P_c & -K P_c & \cdot & \cdot \\ -K P_c & K P_c & \cdot & \cdot \\ \cdot & \cdot & -1 & 1 \\ \cdot & \cdot & 1 & -1 \end{pmatrix};$$

$$\mathbf{A}_0^2 = P_c \begin{pmatrix} \rho_1 \delta_1 & \cdot & \cdot & \cdot \\ \cdot & \rho_2 \delta_2 & \cdot & \cdot \\ \cdot & \cdot & -\rho_1 \delta_1 & \cdot \\ \cdot & \cdot & \cdot & -\rho_2 \delta_2 \end{pmatrix}; \quad \mathbf{A}_2^2 = -P_c \begin{pmatrix} \rho_1 J_1 & \cdot & \cdot & \cdot \\ \cdot & \rho_2 J_2 & \cdot & \cdot \\ \cdot & \cdot & \cdot & \cdot \\ \cdot & \cdot & \cdot & \cdot \end{pmatrix}.$$

Как и в других задачах о связанных колебаниях, решение системы ищем в виде суперпозиции базисных гармонических колебаний [8], имеющих, например, следующий вид:

$$w_1 = X_1(x) \sin \omega t; \quad w_2 = X_2(x) \sin \omega t;$$

$$u_1 = X_3(x) \sin \omega t; \quad u_2 = X_4(x) \sin \omega t.$$

Подставляя в полученную систему и сокращая $\sin \omega t$, получаем

$$\mathbf{A}_4^0 \frac{d^4 \vec{X}}{dx^4} + (\mathbf{A}_2^0 - \omega^2 \mathbf{A}_2^2) \frac{d^2 \vec{X}}{dx^2} + \mathbf{A}_1^0 \frac{d \vec{X}}{dx} + (\mathbf{A}_0^0 - \omega^2 \mathbf{A}_0^2) \vec{X} = 0, \quad (15)$$

где вектор $\vec{X} = (X_1 \quad X_2 \quad X_3 \quad X_4)^T$.

Решение системы линейных однородных дифференциальных уравнений (15) ищем в виде $\vec{X} = \mathbf{C} \vec{h} e^{\lambda x}$, где \mathbf{C} - произвольная постоянная. Записав систему в матричном виде, получим

$$\mathbf{A} \cdot \vec{h} = 0,$$

где

$$\mathbf{A} = \lambda^4 \mathbf{A}_4^0 + (\mathbf{A}_2^0 \lambda^2 - \omega^2 \mathbf{A}_2^2) \lambda^2 + \mathbf{A}_1^0 \lambda + (\mathbf{A}_0^0 - \omega^2 \mathbf{A}_0^2);$$

\vec{h} - собственный вектор матрицы \mathbf{A} .

Матрица \mathbf{A} симметрична, что является следствием принципа взаимности Бетти, являющегося общим принципом линейной механики. Приравняв нулю определитель матрицы \mathbf{A} , получим дисперсионное соотношение, связывающее волновые числа λ и частоту ω . Это соотношение имеет вид многочлена 12-й степени по λ и 8-й степени по ω (четные степени), что согласуется с 12 краевыми условиями (10)–(12) и четырьмя модами колебаний. Решение системы (14) имеет вид

$$\vec{\mathbf{X}} = \sum_{i=1}^{12} C_i \vec{\mathbf{h}}_i e^{\lambda_i x},$$

где $\vec{\mathbf{h}}_i$ - собственные векторы матрицы \mathbf{A} , соответствующие волновым числам $\lambda_i(\omega)$ и частоте ω .

Для поиска собственных частот колебаний ω (и связанных с ними $\lambda_i(\omega)$) необходимо удовлетворить крайевым условиям (10)-(12), что приводит к системе из 12 линейных однородных уравнений относительно $\vec{\mathbf{C}} = (C_1, \dots, C_{12})^T$, а коэффициенты получаемой системы зависят от ω :

$$\mathbf{B} \cdot \vec{\mathbf{C}} = 0. \quad (16)$$

Система имеет нетривиальное решение, если $\det \mathbf{B}(\omega) = 0$. В явном виде выписать определитель затруднительно, поскольку он имеет 12-й порядок и все его коэффициенты ненулевые. Поэтому целесообразно применить численный метод решения данного уравнения. Например, путем перебора ω найти соответствующие $\vec{\mathbf{h}}$ и затем вычислить значения $\det \mathbf{B}(\omega)$. Расчеты показывают, что на различных интервалах ω данный определитель принимает либо только действительные, либо только мнимые значения, знак которых изменяется. Найдя интервал изменения знака определителя, для решения уравнения используем метод секущих. Получаем счетное множество собственных частот колебаний ω_j и соответствующих им собственных функций. Следовательно, общее решение системы (14) можем представить в виде

$$\vec{\mathbf{V}} = \sum_{j=1}^{\infty} S_j \vec{\mathbf{X}}_j \sin \omega_j t + \sum_{j=1}^{\infty} R_j \vec{\mathbf{X}}_j \cos \omega_j t,$$

где S_j и R_j – коэффициенты, определяемые из начальных условий; $\vec{\mathbf{X}}_j$ – вектор собственных функций, который имеет вид

$$\vec{\mathbf{X}}_j = \sum_{i=1}^{12} q_{ij} \vec{\mathbf{h}}_{ij} e^{\lambda_{i,j} x}.$$

Здесь q_{ij} – i -я компонента собственного вектора матрицы \mathbf{B} (16), соответствующего собственной частоте ω_j ; $\vec{\mathbf{h}}_{ij}$ – собственный вектор матрицы \mathbf{A} , соответствующий волновым числам $\lambda_{i,j}$, где $i = 1, \dots, 12$ - номер корня дисперсионного соотношения, соответствующего частоте ω_j .

В явном виде перемещения имеют вид

$$w_k = \sum_{j=1}^{\infty} S_j X_j^{(k)}(x) \sin \omega_j t + \sum_{j=1}^{\infty} R_j X_j^{(k)}(x) \cos \omega_j t; \quad (17)$$

$$u_k = \sum_{j=1}^{\infty} S_j X_j^{(k+2)}(x) \sin \omega_j t + \sum_{j=1}^{\infty} R_j X_j^{(k+2)}(x) \cos \omega_j t,$$

где $X_j^{(k)}(x) = \sum_{i=1}^{12} q_{ij} h_{ij}^{(k)} e^{\lambda_{i,j} x}$, соответственно $h_{ij}^{(n)}$ – n -я компонента вектора \vec{h}_{ij} ; $k = 1, 2$.

Удовлетворение начальным условиям. Чтобы удовлетворить начальным условиям (13) минимизируем среднеквадратическое отклонение перемещений (17) от (13), т.е. используем свойство ряда Фурье

$$F = \int_{-L}^L \left[\sum_{k=1}^2 \left(\sum_{j=1}^{\infty} R_j X_j^{(k)} - \chi_k \right)^2 + \sum_{k=1}^2 \left(\sum_{j=1}^{\infty} R_j X_j^{(k+2)} - \psi_k \right)^2 \right] dx + \\ + \int_{-L}^L \left[\sum_{k=1}^2 \left(S_j \omega_j X_j^{(k)} - \bar{\chi}_k \right)^2 + \sum_{k=1}^2 \left(S_j \omega_j X_j^{(k+2)} - \bar{\psi}_k \right)^2 \right] dx \rightarrow \min.$$

Условие минимума имеет вид $\frac{\partial F}{\partial R_i} = 0$, $\frac{\partial F}{\partial S_i} = 0$. Ограничивая

суммирование до бесконечности некоторым индексом N , получаем систему линейных уравнений относительно неизвестных коэффициентов:

$$\begin{cases} \int_{-L}^L \sum_{j=1}^N R_j \sum_{k=1}^4 \left(X_j^{(k)} X_i^{(k)} \right) dx = \int_{-L}^L \sum_{k=1}^2 \left(X_i^{(k)} \chi_k + X_i^{(k+2)} \psi_k \right) dx; \\ \int_{-L}^L \sum_{j=1}^N S_j \sum_{k=1}^4 \left(X_j^{(k)} X_i^{(k)} \omega_j \right) dx = \int_{-L}^L \sum_{k=1}^2 \left(X_i^{(k)} \bar{\chi}_k + X_i^{(k+2)} \bar{\psi}_k \right) dx, \end{cases} \quad (18)$$

$$i = 1, \dots, N.$$

Собственные функции не ортогональны и поэтому матрица системы (18) не имеет нулевых элементов. Интегралы, определяющие коэффициенты системы, без труда вычисляются аналитически. Расчет же правых частей системы сопряжен с громоздкими вычислениями и поэтому их целесообразнее находить, применяя численные методы.

Модельная задача. Рассмотрим составную балку длиной 40 мм ($L = 0,02$ м); $\delta_1 = \delta_2 = 2$ мм; $E_1 = 70$ ГПа; $E_2 = 40$ ГПа; $\delta_c = 0,3$ мм; $\rho_1 = 4000$ кг/м³; $\rho_2 = 2000$ кг/м³; $G_c = 1,64$ ГПа; $E_c = 4,44$ ГПа. При этом полагаем слои однородными по толщине, т.е. $D_i = E_i \delta_i^3 / 12$,

$$K = E_c / \delta_c.$$

В качестве начальных условий в модельной задаче выберем положение $w_2(L,0) = \Delta_0$, где Δ_0 - некоторое перемещение, $\bar{\psi}_i = \bar{\chi}_i = 0$. Т.е. свободный конец был перемещен на Δ_0 и из этого положения отпущен. Скорости в начальный момент нулевые. Чтобы найти соответствующие перемещения слоев ψ_i, χ_i , необходимо решить стационарную задачу нахождения НДС соединения в рамках модели Голанда–Рейсснера. Этой задаче посвящено значительное число статей, например [4; 5], поэтому подробно останавливаться на решении данной задачи не будем. Назначим начальное перемещение $\Delta_0 = 1$ мм.

Поскольку начальные скорости нулевые, то из (18) следует, что $S_i = 0$, т.е. перемещения раскладываются в ряд по косинусам $\omega_j t$. Стержень совершает связанные продольно-поперечные колебания. При этом касательные напряжения в клее (3) обусловлены как продольными U_k , так и поперечными W_k перемещениями слоев. Максимальные касательные τ и нормальные σ напряжения в клее будут в окрестности жесткой заделки при $x = -L$. Покажем их на одном графике (рис. 3).

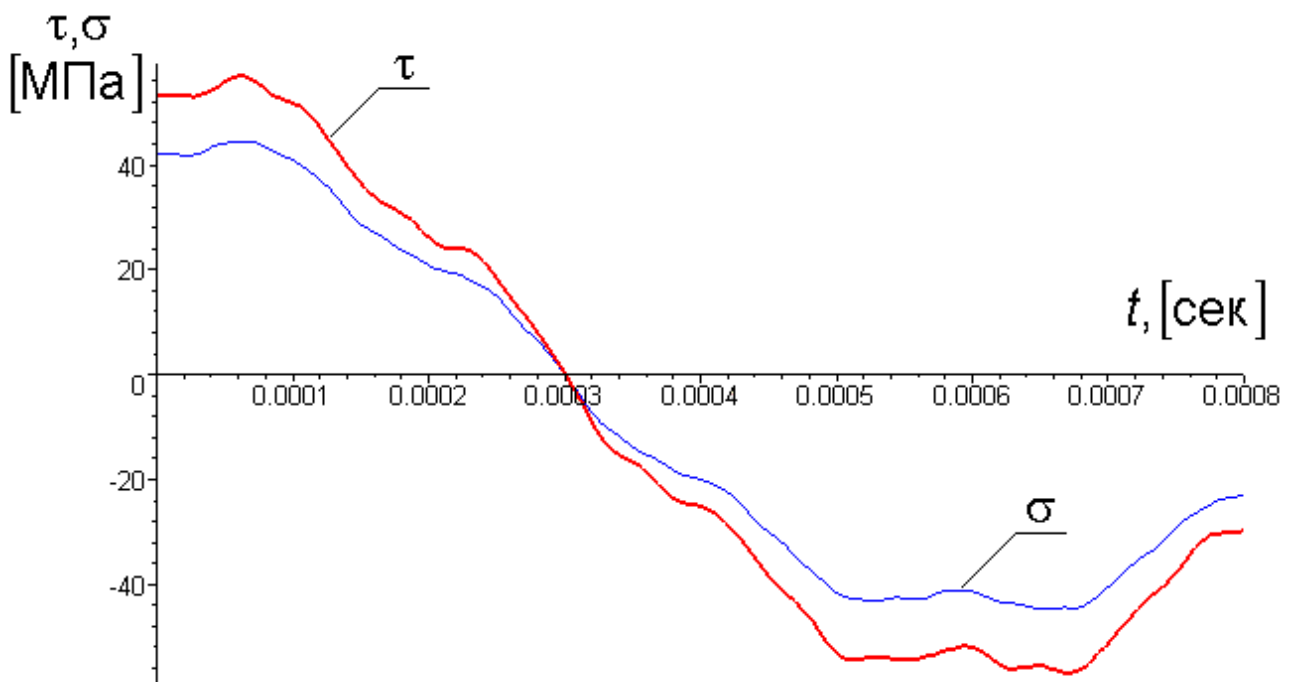


Рисунок 3 – Напряжения в клее в заделке

Выводы

В работе решена задача о свободных колебаниях составной балки по модели Голанда–Рейсснера. Данная модель является развитием модели Ржаницына [7] и в дальнейшем может быть использована для решения широкого круга задач динамики соединений. Возможны следующие

щие направления развития модели:

- учет диссипации энергии в клее и соединяемых деталях;
- учет массы клея;
- решение задач для соединений, имеющих слои разной длины;
- решение задач для соединений, состоящих из большего числа слоев (например, в комбинации с моделью Ржаницына [7], если некоторые слои имеют одинаковые краевые условия);
- исследование напряженного состояния соединений при продольном и поперечном ударах, осциллирующей нагрузке и т.д.

Кроме того, представляются целесообразными решение системы (9) с помощью численных методов, например дифференциально-разностного, и исследование динамических напряжений в соединениях с переменными параметрами.

Список использованных источников

1. Goland, M. The stresses in Cemented Joints [Текст] / M. Goland, E. Reissner // J. App. Mech., Vol. 11, 1944, A11-A27.
2. Hart-Smith, L.J. "Adhesive-Bonded Single-Lap Joints", / Douglas Aircraft Co., NASA Langley Report CR 112236, 1973.
3. Макеев, А.И. Соединения тонкостенных элементов с переменными параметрами [Текст] / А.И. Макеев, А.Л. Брушковский // Прочность конструкций летательных аппаратов.- Х.: ХАИ, 1973. - С.124 - 134.
4. Tong L. Fully-coupled nonlinear analysis of single lap adhesive joints [Текст] / Q. Luo, L. Tong // International Journal of Solids and Structures, Vol. 44, 2007, pp. 2349-2370.
5. L.F.M. Da Silva (Ed) Modeling of Adhesively Bonded Joints [Текст] / Springer, 2008. – 335 p.
6. Куреннов, С.С. Напряжений стан клейового з'єднання при позовжньому пружному ударі зосередженої маси [Текст] / С.С. Куреннов // Вопросы проектирования и производства конструкций летательных аппаратов: сб. науч. тр. Нац. аэрокосм. ун-та «ХАИ» – Вып.3 (67). Х., 2011. – С. 98–105.
7. Ржаницын, А.Р. Составные стержни и пластины [Текст] / А.Р. Ржаницын. – М.: Стройиздат, 1986. – 316 с.
8. Власов, В.З. Тонкостенные упругие стержни [Текст] / В.З. Власов М.: Физматгиз, 1959. - 574 с.

Поступила в редакцию 24.02.2012.

*Рецензент: д-р физ.-мат. наук, проф. А. Г. Николаев,
Национальный аэрокосмический университет
им. Н. Е. Жуковского «ХАИ», Харьков*